



# БИООРГАНИЧЕСКАЯ ХИМИЯ

том 2 \* № 6 \* 1976

УДК 577.153.2.02

## ИЗУЧЕНИЕ ТОПОГРАФИИ АКТИВНОГО ЦЕНТРА ПАНКРЕАТИЧЕСКОЙ ЛИПАЗЫ МЕТОДОМ БИФУНКЦИОНАЛЬНОГО ОБРАТИМОГО ИНГИБИРОВАНИЯ БОРОРГАНИЧЕСКИМИ КИСЛОТАМИ

Ротанова Т. В., Глаус Р., Иванова А. Г.,  
Гинодлан Л. М., Антонов В. Е.

Институт биоорганической химии им. М. М. Шемякина  
Академии наук СССР, Москва

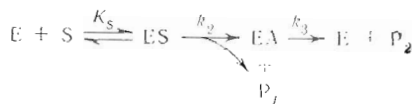
Исследовано действие борорганических кислот общей формулы  $\text{H}(\text{CH}_2)_n\text{B}(\text{OH})_2$  ( $n = 2-9$ ) и  $\text{Ph}(\text{CH}_2)_n\text{B}(\text{OH})_2$  ( $n = 0, 2, 3, 4$ ) на ферментативную активность панкреатической липазы (КФ 3.1.1.3) в реакциях гидролиза трибутирина и *n*-шитрофенил-ацетата. Показано, что алкил- и аралкилборные кислоты являются эффективными бифункциональными обратимыми ингибиторами липазы. Для *n*-алкилборных кислот в интервале значений  $n$  от 2 до 8 наблюдается линейное увеличение  $pK_i$  с ростом  $n$ . Инкремент свободной энергии связывания составляет  $-700$  ккал/моль, что характерно для гидрофобного взаимодействия. Ингибиция липазы аралкилборными кислотами не подчиняется простой закономерности, отмеченной для *n*-алкилборных кислот.

На основании полученных данных предлагается схема, согласно которой адсорбционный участок активного центра фермента непосредственно примыкает к каталитическому центру и имеет протяженность в восемь метиленовых звеньев; при этом в области 3–4-го метиленового звена имеется препятствие для связывания плоского бензольного кольца. Высказывается предположение о механизме активирования липазы в гетерогенной системе.

В последнее время для исследования «сериновых» гидrolаз, содержащих в активном центре остатки серина и гистидина, весьма успешно используется метод бифункционального обратимого ингибиования борорганическими кислотами. С помощью этого метода удалось получить ценную информацию о строении активных центров таких ферментов, как  $\alpha$ -химотрипсин [1–4], щелочная мезентериопептидаза [5], субтилизин [6, 7], ацетилхолинэстераза [8]. В частности, анализ взаимодействия фенилалкилборных кислот с  $\alpha$ -химотрипсином позволил сформулировать предположение о том, что структура образующегося фермент-ингибиторного комплекса может рассматриваться как модель переходного состояния для реакции  $\alpha$ -химотрипсина со специфическим субстратом [4, 9].

Остаток борной кислоты рассматриваемых ингибиторов реагирует с каталитическими группами, а углеводородный радикал — с гидрофобной субстратсвязывающей областью активного центра фермента [9, 10]. Изучение зависимости эффективности ингибиования ферментативной активности от величины и структуры углеводородной части молекулы ингибитора позволяет получить данные о топографии активного центра, т. е. о взаимном расположении каталитического и сорбционного участков, о размерах и форме последнего.

В настоящее время складывается представление о том, что катализические участки активных центров липазы и  $\alpha$ -химотрипсина весьма сходны [11—13], кинетическая схема процесса липолиза, согласно работам Брокерхорфа [14] и Дэньюэлла с сотр. [11, 15], аналогична схеме процесса гидролиза эфирных субстратов сериновыми протеазами и включает три стадии — образование фермент-субстратного комплекса, ацилирование фермента и его деацетилирование:



В свете этих данных представлялось интересным использовать метод бифункционального обратимого ингибиования бороганическими кислотами для изучения топографии активного центра панкреатической липазы.

Было изучено ингибирующее действие гомологического ряда *n*-алкилборных кислот общей формулы  $H(CH_2)_nB(OH)_2$  (где  $n = 2—9$ ) и ряда аралкилборных кислот  $C_6H_5(CH_2)_nB(OH)_2$  (где  $n = 0, 2, 3, 4$ ) на активность липазы в реакции гидролиза трибутирина. При кинетических исследованиях трибутирин имеет ряд преимуществ перед природными триглицеридами [11]: а) он легко образует стабильные эмульсии в отсутствие эмульгатора; это чрезвычайно важный фактор, поскольку взаимодействие эмульгатора с ферментом может привести к искажению кинетических данных; б) выделяющаяся в процессе гидролиза масляная кислота хорошо растворима в воде, что обеспечивает возможность титрования продукта реакции с помощью рН-стата.

Ингибиование ферментативной активности липазы изучали при комнатной температуре в рН-оптимуме действия фермента в присутствии метилового спирта. Эмульгирование субстрата проводили с помощью ультразвукового генератора.

Константа Михаэлиса для трибутирина, определенная по Лайнуйверу — Бэрку (данные обработаны по методу наименьших квадратов), составляет  $(1,320 \pm 0,007) \cdot 10^{-3}$  М. В литературе приводятся несколько отличающиеся значения  $K_m$  (каж.), а именно  $1,9 \cdot 10^{-2}$  [11] и  $4,6 \cdot 10^{-3}$  М [16]. Наблюдаемые расхождения обусловлены, по-видимому, различной степенью эмульгирования трибутирина, достигнутой в упомянутых работах [17], а также некоторыми различиями в условиях определения.

Для характеристики ингибирующих свойств бороганических кислот определяли скорость ферментативного процесса при различных концентрациях ингибитора. Линейный тип зависимости, наблюдающийся в широком интервале концентраций *n*-гексилборной кислоты (рис. 1), характерен также для действия и других исследованных бороганических кислот.

Для определения численного значения константы ингибиования ( $K_i$ ) необходимо было установить тип торможения. Приведенные на рис. 2 данные по ингибиованию липазы *n*-гексилборной кислотой (график построен по методу Диксона [18]) исключают неконкурентный тип торможения. Кроме того, численные значения констант ингибиования, полученные из рис. 2 и по данным рис. 1 (расчет для случая конкурентного типа ингибиования) проводится по формуле

$$\operatorname{tg} \alpha = \frac{1}{K_i} \cdot \frac{K_{m(\text{каж})}}{K_{m(\text{каж})} + [S]_0},$$

где  $\operatorname{tg} \alpha$  — тангенс угла наклона прямой), совпадают. Это позволило сделать заключение о конкурентном типе ингибиования липазы бороганическими кислотами. Сопоставление значений  $K_i$  (см. таблицу) свидетельст-

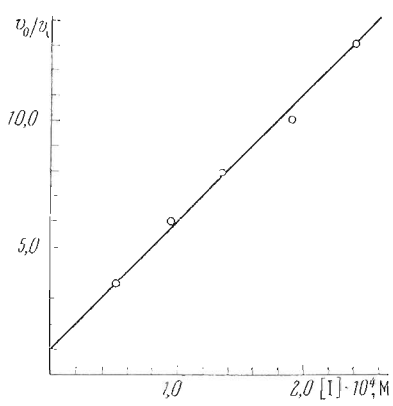


Рис. 1

Рис. 1. Ингибиование реакции липолиза трибутирина *n*-гексиалборной кислотой при  $[S]_0 = 6,67 \cdot 10^{-3}$  М

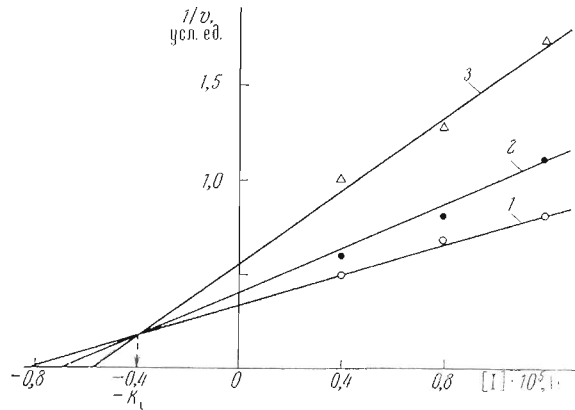


Рис. 2

Рис. 2. Зависимость скорости липолиза трибутирина от концентрации *n*-гексиалборной кислоты.  $[S]_0$  (М) : 1— $6,67 \cdot 10^{-3}$ ; 2— $2,22 \cdot 10^{-3}$ ; 3— $1,33 \cdot 10^{-3}$

вует о том, что эффективность ингибиования липазы бороганическими кислотами в значительной степени зависит от величины и структуры углеводородной части ингибитора.

Из анализа зависимости констант ингибиования от размера углеводородного радикала в ряду *n*-алкилборных кислот (рис. 3) следует, что в интервале  $n$  от 2 до 8 наблюдается увеличение  $pK_i$  с ростом  $n$ ; при переходе же от соединения с  $n$ , равным 8, к  $H(CH_2)_9B(OH)_2$  с  $n$ , равным 9,  $pK_i$  не изменяется. По величине наклона графика вычислено, что для кислот со значениями  $n$  от 2 до 8 каждая  $CH_2$ -группа боковой цепи вносит в среднем в свободную энергию связывания  $\Delta\Delta F_{i(CH_2)}$  ( $\Delta\Delta F_{i(CH_2)} = -2,3 RT \lg (K_{i(n=0)} / K_{i(n)})$ ) величину, равную  $-700$  кал/моль. Найденное значение инкремента характерно для гидрофобных взаимодействий [19]. Точно такой же инкремент характерен для связывания липазой исследованных алифатических спиртов (рис. 3); это позволяет полагать, что спирты моделируют взаимодействие с липазой углеводородной части *n*-алкилборных кислот. То обстоятельство, что график зависимости  $pK_i$  от  $n$  для спиртов при экстраполяции не проходит через пулевую точку, можно объяснить влиянием гидроксильной группы. Приведенные на рис. 3 данные свидетельствуют о том, что ингибирующая способность боратковых кислот значительно превышает ингибирующее действие соответствующих спир-

#### Константы ингибиования реакции липолиза трибутирина бороганическими кислотами

<i>n</i> -Алкилборные кислоты	$K_i \cdot 10^6$ , М*	Аралкилборные кислоты	$K_i \cdot 10^6$ , М
$H(CH_2)_2B(OH)_2$	260	$C_6H_5B(OH)_2$	5,8
$H(CH_2)_3B(OH)_2$	59	$C_6H_5(CH_2)_2B(OH)_2$	27
$H(CH_2)_4B(OH)_2$	36	$C_6H_5(CH_2)_3B(OH)_2$	16
$H(CH_2)_5B(OH)_2$	12	$C_6H_5(CH_2)_4B(OH)_2$	0,81
$H(CH_2)_6B(OH)_2$	4,0		
$H(CH_2)_7B(OH)_2$	1,0		
$H(CH_2)_8B(OH)_2$	0,37		
$H(CH_2)_9B(OH)_2$	0,33		

\* Приведенные значения  $K_i$  являются средними арифметическими из не менее чем 5 опытов.

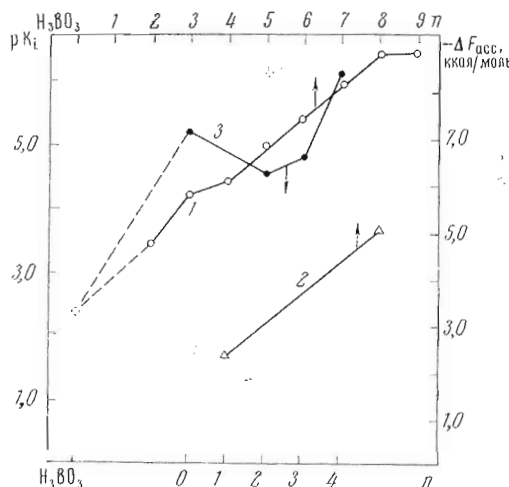


Рис. 3. Зависимость эффективности ингибиции реакции липолиза трибутирина от величины ( $n$ ) углеводородного радикала в молекулах  $n$ -алкилборных кислот  $\text{H}(\text{CH}_2)_n\text{B}(\text{OH})_2$  (1), алифатических спиртов  $\text{H}(\text{CH}_2)_n\text{OH}$  (2) и аралкилборных кислот  $\text{Ph}(\text{CH}_2)_n\text{B}(\text{OH})_2$  (3).  $\Delta F_{acc}$  — свободная энергия ассоциации фермента с ингибитором

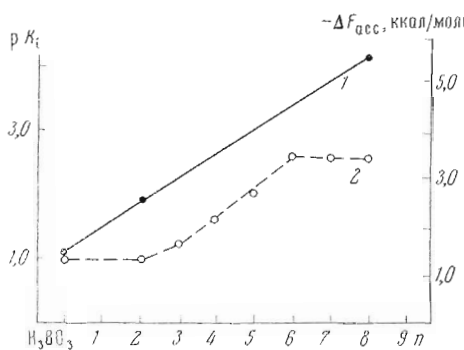


Рис. 4. Зависимость эффективности ингибиции ферментативной активности липазы (1) (субстрат —  $n$ -нитрофенил- $\alpha$ -ацетат) и  $\alpha$ -химотрипсина (2) [2] от величины ( $n$ ) углеводородного радикала в молекуле  $n$ -алкилборной кислоты  $\text{H}(\text{CH}_2)_n\text{B}(\text{OH})_2$

тов (различие в энергиях связывания составляет  $-3,8$  ккал/моль). Это различие следует отнести за счет высокой энергии связывания с ферментом боратного остатка алкилборной кислоты в гетерогенной системе.

Если предположить, что связывание алифатического радикала осуществляется на всем его протяжении, т. е. участки связывания боратного остатка и углеводородного радикала непосредственно примыкают друг к другу, то, экстраполируя кривую 1 на рис. 3 к  $n = 0$ , можно получить значение энергии связывания боратного остатка в алкилборной кислоте  $\Delta F = -3,4$  ккал/моль. Рассчитанное значение находится в хорошем соответствии с найденной разностью энергий связывания боратковых кислот и алифатических спиртов, что говорит в пользу справедливости сделанного выше предположения.

Для экспериментальной проверки этого предположения необходимы данные о значении  $pK_i$  для борной кислоты в той же системе, т. е. при гидролизе липазой трибутирина. Однако используемый при этом метод  $p\text{H}$ -стабилизации оказывается неподходящим, поскольку при введении бор-

ной кислоты система приобретает большую буферную емкость. В связи с этим нами была использована другая система, предложенная ранее Дэньюэллом и сотр. [15], в которой в качестве субстрата применяется *n*-нитрофенилацетат; образование продукта гидролиза регистрируется спектрофотометрически.

Как видно из рис. 4, значения  $pK_1$  для борной и алкилборных кислот укладываются на прямую с инкрементом  $\Delta\Delta F_{i(\text{CH}_3)}$ , равным — 525 кал/моль, что близко к величине, характеризующей гидрофобное взаимодействие. На том же рис. 4 для сравнения приведен график зависимости  $pK_1$  от величины *n* алкилборных кислот  $\text{H}(\text{CH}_2)_n\text{B}(\text{OH})_2$  для  $\alpha$ -химотрипсина, из которого, как установлено ранее [3, 4], следует, что в активном центре этого фермента участки связывания боратной группы и углеводородного радикала не примыкают непосредственно один к другому, а находятся на расстоянии, соответствующем длине цепи из трех метиленовых звеньев. Линейный характер зависимости, наблюдаемой для липазы, экспериментально подтверждает сделанное выше заключение о непосредственном примыкании участков связывания боратной группы и углеводородного радикала в ее активном центре.

Интересно сопоставить данные, полученные при ингибиции липазы в гомогенной и гетерогенной средах. В гомогенной системе (рис. 4) различие в энергиях связывания между октилборной и борной кислотами составляет 4,2 ккал/моль, что следует отнести за счет энергии связывания углеводородного остатка. Полученная величина удовлетворительно согласуется со значением энергии связывания октилового спирта в гетерогенной системе (рис. 3, 2). Это позволяет заключить, что эффективность связывания липазой углеводородного радикала в гомогенной и гетерогенной системах примерно одинакова. В то же время эффективность связывания бороганической кислоты в рассматриваемых системах сильно отличается (например, для октилборной кислоты это различие составляет 3,2 ккал/моль), т. е. при взаимодействии липазы с мицеллами трибутирина увеличивается сродство активного центра фермента к бифункциональному ингибитору.

Согласно развивающимся в последнее время представлениям, бороганические кислоты в активном центре серинового фермента моделируют переходное состояние субстрата [9, 20], образуя тетраэдрический аддукт с углеродным атомом каталитически активного остатка серина. В настоящее время принято считать [21, 22], что активные центры ферментов обладают наибольшим сродством к субстратам именно в их переходном состоянии. Тогда увеличение эффективности ингибирования липазы бороганическими кислотами в гетерогенной системе можно объяснить конформационным изменением активного центра фермента, происходящим при взаимодействии его с поверхностью раздела фаз, в результате которого он становится комплементарным к тетраэдрическому аддукту. Подобная интерпретация позволяет объяснить также значительное увеличение скорости гидролиза субстратов в гетерогенной системе, а также увеличение каталитической активности липазы при действии ее на растворимые субстраты в присутствии силиконизированных стеклянных шариков [15, 23], т. е. активацию липазы на поверхности раздела фаз.

Сопоставляя данные по ингибированию липазы (рис. 3) и  $\alpha$ -химотрипсина (рис. 4) *n*-алкилборными кислотами, можно оценить размер участка гидрофобного связывания липазы. В то время как участок связывания у  $\alpha$ -химотрипсина имеет протяженность в три-четыре метиленовых звена [2], у липазы он значительно больше и может связать до восьми метиленовых звеньев (до  $n = 8$  наблюдается постоянный инкремент  $\Delta\Delta F_{i(\text{CH}_3)}$ ).

С целью получения дополнительной информации о топографии гидрофобного связывающего участка липазы было изучено ингибирующее действие на фермент аралкилборных кислот  $\text{Ph}(\text{CH}_2)_n\text{B}(\text{OH})_2$ . Аралкилборные кислоты — эффективные ингибиторы липазы (рис. 3, 3), однако

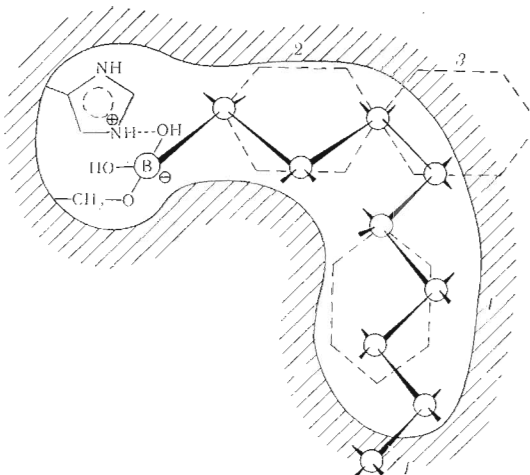


Рис. 5. Гипотетическая схема топографии активного центра панкреатической липазы. Вероятное расположение в активном центре липазы *n*-ноктилборной (1), фенилборной (2), фенилэтилборной (3) и фенилбутилборной (4) кислот

их ингибиторующее действие не подчиняется простой закономерности, отмеченной выше для *n*-алкилборных кислот (рис. 3, 1). Если бы связывание алкильной и арильной частей аралкильного радикала осуществлялось беспрепятственно на всем протяжении связывающего центра липазы, то при переходе от соединений с  $n = 0$  к соединениям с  $n = 4$  должно было бы наблюдаться линейное увеличение  $pK_i$  (с инкрементом  $\Delta\Delta F_{i(\text{CH}_2)} \approx -700$  ккал/моль).

Наблюдаемая зависимость, однако, не является линейной; при этом  $\beta$ -фенилэтилборная кислота и  $\gamma$ -фенилпропилборная кислота ( $n = 2$  и 3 соответственно) оказываются более слабыми ингибиторами, чем фенилборная кислота ( $n = 0$ ). Известно [4], что в фенилборной кислоте связывающая способность боратного остатка выше, чем в фенилалкилборных кислотах; ожидаемая поправка, однако, относительно невелика. Наблюдаемый в эксперименте нелинейный ход графика зависимости  $pK_i$  от  $n$  в  $\text{Ph}(\text{CH}_2)_n\text{B}(\text{OH})_2$  можно объяснить, исходя из предположения, что связывание фенильного радикала осуществляется с разной эффективностью на различном удалении от боратного остатка. Более того, на определенном участке гидрофобной зоны, по-видимому, имеется препятствие для связывания плоского бензольного кольца. Это препятствие может представлять собой изгиб гидрофобного связывающего участка, расположенный на удалении трех-четырех метиленовых звеньев от зоны связывания боратного остатка. В таком случае плоское бензольное кольцо, попадая в область изгиба, взаимодействует с ферментом менее эффективно; при этом может ухудшаться связывание алкильной цепи. При дальнейшем увеличении алкильной цепи бензольное кольцо попадает в зону, благоприятную для взаимодействия, и эффективности связывания аралкилборной и *n*-алкилборной кислот, содержащих радикалы примерно одинаковой длины, становятся весьма близкими (рис. 3).

В пользу предположения о наличии изгиба гидрофобного участка на удалении трех-четырех метиленовых звеньев от зоны связывания боратного остатка говорит также отклонение от линейности зависимости  $K_i$  от  $n$  для  $\text{H}(\text{CH}_2)_3\text{B}(\text{OH})_2$  при связывании алкилборных кислот (рис. 3, 1).

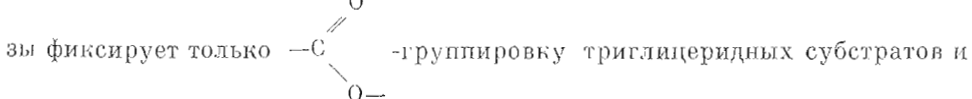
Результаты проведенного исследования позволяют высказать следующие предположения о взаимном расположении каталитического и сорбционного участков активного центра липазы и о размерах и форме последнего (рис. 5):

1) участок связывания боратной группы (катализически активные остатки серина и гистидина) и участок гидрофобного связывания алкильной цепи субстрата непосредственно примыкают друг у другу;

2) протяженность гидрофобного связывающего участка примерно соответствует длине углеводородной цепи из восьми метиленовых звеньев;

3) на удалении трех-четырех метиленовых звеньев от катализического центра гидрофобный связывающий участок имеет изгиб.

Согласно точке зрения, изложенной в работе [14], активный центр липазы фиксирует только



не связывает их углеводородные цепи. Из предшествующего изложения следует, что мы рассматриваем гидрофобный участок липазы, связывающий углеводородные группы бороганических кислот, как адсорбционную зону активного центра фермента. В пользу этого представления можно привести ряд аргументов: а) непосредственное примыкание гидрофобного связывающего участка к каталитическому центру фермента; б) определенная геометрия этого участка (о чем свидетельствует характер ингибиции липазы аралкилборными кислотами); в) зависимость эффективности ингибиции липазы *n*-алкилборными кислотами от размера их углеводородного радикала при гидролизе *n*-нитрофенилацетата в гомогенной среде, т. е. в отсутствие гидрофобных поверхностей раздела. В пользу рассматриваемого представления говорит также установленный нами конкурентный характер ингибиции липазы бороганическими кислотами при гидролизе трибутирила.

Заслуживает дополнительного обсуждения вопрос о размерах гидрофобного связывающего участка активного центра липазы. Как отмечалось выше, обнаруженный нами участок связывает углеводородную цепь из восьми метиленовых звеньев. Можно предположить, что это единственный гидрофобный связывающий участок активного центра липазы. Эффективность связывания субстрата в этом центре достаточно велика для образования стабильного фермент-субстратного комплекса. Наряду с этим остающиеся в жирной фазе мицеллы фрагменты углеводородной цепи облегчают последующий уход освобождающейся жирной кислоты на поверхность раздела фаз.

Нельзя исключить другое предположение, согласно которому адсорбционная зона активного центра липазы имеет дополнительную область гидрофобного связывания для более удаленных метиленовых групп ацильного радикала субстрата. Несомненно, однако, что в таком случае между рассматриваемыми зонами (в области 9–10 метиленовых звеньев) должен находиться участок, в котором гидрофобное взаимодействие не осуществляется. Интересно отметить, что в состав природных триглицеридов, расщепляемых панкреатической липазой, обычно входят ненасыщенные жирные кислоты, у которых первая двойная связь располагается не ближе  $C_{(9)}$ -атома, т. е. именно в той области, где мы постулируем зону отсутствия гидрофобного связывания.

Таким образом, полученные нами, а также литературные данные позволяют сделать заключение, что бороганические кислоты являются ценным инструментом для изучения топографии активных центров и механизма действия группы серин-гистидиновых ферментов, в том числе липазы.

### Экспериментальная часть

Препарат панкреатической липазы (КФ 3.1.1.3) (смесь изоферментов  $L_A$  и  $L_B$ , не различающихся по катализическим свойствам) получали по методике Дэньюэлла и сотр. [20]. Активность препарата на стадии делипидизации соответствовала активности, приведенной в работе [20] для ана-

логичного препарата. Полученный на последней стадии очистки препарат липазы, по данным электрофореза в полиакриламидном геле, являлся практически гомогенным. При этом было достигнуто увеличение удельной активности фермента в 30 раз по сравнению с активностью препарата на стадии делипидизации. Следует отметить, что операция лиофильного высушивания приводит к значительной потере ферментативной активности.

Субстраты: трибутирин  $C_{15}H_{26}O_6$  квалификации ч., препарат Ереванского завода химреактивов, очищали перегонкой в вакууме, т. кип.  $190^{\circ}/15$  мм рт. ст. [21], *n*-нитрофенилацетат  $C_8H_7NO_4$  синтезирован по методике [22], т. пл.  $80-81^{\circ}$ .

Ингибиторы: борогранические кислоты,  $H(CH_2)_nB(OH)_2$  ( $n = 2-9$ ) и  $C_6H_5(CH_2)_nB(OH)_2$  ( $n = 2-4$ ), синтезированы по методикам, приведенным в работе [3], фенилборная кислота  $C_6H_5B(OH)_2$  — препарат фирмы «Schuchart» (ФРГ).

Ацетонитрил очищали по методике [23], остальные реагенты и растворители применяли без дополнительной очистки.

*Кинетические измерения.* Измерения начальных скоростей ферментативного гидролиза трибутирина проводили методом потенциометрического титрования при постоянном pH (pH-стат TTT-1c, «Radiometer», Дания). Сущность метода заключается в титровании выделяющейся в результате реакции кислоты раствором щелочи определенной концентрации.

Реакцию проводили в полиэтиленовой кювете. Объем реакционной смеси 5,1 мл. Начальные концентрации субстрата  $(0,6-1,0) \cdot 10^{-2}$  M; фермента  $— 10^{-7}-10^{-8}$  M; pH 7,5;  $20^{\circ}$ , 0,1 M NaCl, 10% (по объему)  $CH_3OH$ .

Исходную эмульсию субстрата готовили непосредственно перед использованием путем эмульгирования рассчитанного количества трибутирина в растворе, содержащем 0,2 M NaCl и 10% (по объему)  $CH_3OH$ , при помощи ультразвукового генератора типа УЗДН-1 У4.2 в течение 0,5—1 мин при 44 кГц.

В кювету титратора вносили 2,5 мл эмульсии субстрата и 2,5 мл 10%-ного водного раствора  $CH_3OH$  (или соответствующий объем раствора ингибитора в 10%-ном  $CH_3OH$ ), доводили pH до нужного значения, после чего добавляли 0,1 мл раствора липазы.

В опытах по определению типа ингибирования (рис. 2) реакцию проводили в стеклянной кювете в объеме 10,1 мл, остальные условия те же.

За реакцией ферментативного гидролиза *n*-нитрофенилацетата (рис. 4) следили с помощью самопищащего двухлучевого спектрофотометра «Spectord» (ГДР), измеряя скорость образования *n*-нитрофенолят-иона (pH 7,5; 0,05 M трис-HCl-буфер, 0,1 M NaCl,  $20^{\circ}$ , 10%-ный водный  $CH_3OH$ ). Реакцию проводили в кварцевой кювете толщиной 1 см, регистрировали изменение поглощения при 400 нм в условиях  $[E]_0 \ll [S]_0$ . В кюветы спектрофотометра вносили по 2 мл буфера, содержащего 10%-ный  $CH_3OH$ , 0,8 мл 10%-ного  $CH_3OH$  (или соответствующий объем раствора ингибитора в 10%-ном  $CH_3OH$ ) и 0,2 мл раствора липазы (в рабочую кювету) или 0,2 мл воды (в кювету сравнения). Растворы перемешивали и добавляли по 0,15 мл 0,13 M раствора *n*-нитрофенилацетата в ацетонитриле.

Авторы выражают благодарность А. М. Шкробу за полезное обсуждение результатов работы.

#### ЛИТЕРАТУРА

1. Антонов В. К., Иванина Т. В., Березин И. В., Мартинек К. (1968) Докл. АН СССР, 183, 1435—1438.
2. Antonov V. K., Ivanina T. V., Berezin I. V., Martinek K. (1970) FEBS Lett., 7, 23—25.
3. Антонов В. К., Иванина Т. В., Березин И. В., Мартинек К. (1970) Молекулярная биология, 4, 558—569.
4. Antonov V. K., Ivanina T. V., Ivanova A. G., Berezin I. V., Levashov A. V., Martinek K. (1972) FEBS Lett., 20, 37—40.

5. Ротанова Т. В., Воротынцева Т. И., Бакарджиева А., Генов Н. (1973) Материалы Всесоюзного симпозиума по химии протеолитических ферментов, с. 102, Вильнюс.
6. Philipp M., Bender M. L. (1971) Proc. Nat. Acad. Sci. USA, 68, 478—480.
7. Nakatani H., Hanai K., Uehara Y., Hiromi K. (1975) J. Biochem. (Tokyo), 77, 905—908.
8. Koehler K. A., Hess G. P. (1974) Biochemistry, 13, 5345—5350.
9. Rawn J. D., Lienhard G. E. (1974) Biochemistry, 13, 3124—3130.
10. Березин И. В., Йоломийцева Г. Я., Мартинек К. (1967) Молекуляри. биология, 1, 425—435.
11. Desnuelle P., Sémeriva M., Dufour C. (1974) Biochemistry, 10, 2143—2149.
12. Maylie M. F., Charles M., Desnuelle P. (1972) Biochim. et biophys. acta, 276, 162—175.
13. Brockerhoff H. (1973) Chem. and Phys. Lipids, 10, 215—222.
14. Brockerhoff H. (1970) Biochim. et biophys. acta, 212, 92—101.
15. Sémeriva M., Chapus C., Bovier-Lapierre C., Desnuelle P. (1974) Biochem. and Biophys. Res. Commun., 58, 808—813.
16. Maylie M. F., Charles M., Astier M., Desnuelle P. (1973) Biochem. and Biophys. Res. Commun., 52, 291—297.
17. Benzonana G., Desnuelle P. (1965) Biochim. et biophys. acta, 105, 121—136.
18. Джонсон М., Уэбб Э. (1966) в кн. Ферменты, с. 291—292, «Мир», М.
19. Мартинек К., Левашов А. В., Березин И. В. (1970) Молекуляри. биология, 4, 517—528.
20. Robillard G., Schulman R. G. (1974) J. Mol. Biol., 86, 541—558.
21. Pauling L. (1948) Amer. Sci., 36, 58—61.
22. Lienhard G. E. (1973) Science, 180, 149—155.
23. Brockman H. L., Law J. H., Kézdy F. J. (1973) J. Biol. Chem., 248, 4965—4970.
24. Verger R., de Haas G. H., Sarda L., Desnuelle P. (1969) Biochim. et biophys. acta, 188, 272—282.
25. Weatherby L. S., Ilvaine Mc. L., Matlin D. (1925) J. Amer. Chem. Soc., 47, 2250—2252.
26. Kaufmann A. (1909) Ber. Dtsch. Chem. Ges., 42, 3480—3483.
27. Lewis H. F., Smyth C. P. (1939) J. Chem. Phys., 7, 1085—1087.

Поступила в редакцию  
13.X.1975

После переработки  
4.XII.1975

## STUDIES ON THE ACTIVE SITE TOPOGRAPHY OF PANCREATIC LIPASE WITH ORGANO-BORONIC ACIDS AS BIFUNCTIONAL REVERSIBLE INHIBITORS

ROTANOVA T. V., CLAUS R., IVANOVA A. G.,  
GINODMAN L. M., ANTONOV V. K.

*M. M. Shemyakin Institute of Bioorganic Chemistry,  
Academy of Sciences of the USSR, Moscow*

The hydrolysis of tributyrin and *p*-nitrophenyl acetate by pancreatic lipase has been studied in the presence of boronic acids of general formula  $H(CH_2)_n B(OH)_2$  ( $n = 2-9$ ) and  $Ph(CH_2)_n B(OH)_2$  ( $n = 0, 2, 3, 4$ ). Alkyl and aralkylboronic acids were shown to be effective bifunctional reversible inhibitors of the enzyme. The  $pK_i$  values of *n*-alkylboronic acids are linearly dependent on their chain length ( $n = 2-8$ ), an increment of the free energy of binding being 700 cal/mole which is characteristic of hydrophobic interactions. The lipase inhibition by aralkylboronic acids is of more complex character. The data obtained provided a basis for the scheme which implies that the sorption site corresponds to 8 methylene groups of the inhibitor molecule and is adjacent to the catalytic site. Some hindrance for binding the planar benzene ring appears to exist in the middle of the sorption site.